

УДК 62-752.8(088.8)

В.С. ГАПОНОВ, д-р техн. наук; проф. НТУ «ХПИ»;
А.И. НАУМОВ, инженер НТУ «ХПИ»;
Ю.А. ОСТАПЧУК, канд. техн. наук; доц. НТУ «ХПИ»

МАТЕМАТИЧЕСКАЯ МОДЕЛЬ УПРУГОЙ ОПОРЫ С УПРАВЛЯЕМОЙ КВАЗИНУЛЕВОЙ ЖЕСТКОСТЬЮ ДЛЯ ПОДШИПНИКОВ ВЫСОКОСКОРОСТНЫХ РОТОРНЫХ СИСТЕМ

Предложена математическая модель упругой опоры с управляемой квазиулево́й жесткостью для подшипников высокоскоростных роторных систем с целью использования в задаче обеспечения управления их статической и динамической жесткостями.

Запропонована математична модель упругої опори з керованою квазінульовою жорсткістю для підшипників високошвидкісних роторних систем з наміром використання в задачі забезпечення керування їх статичними та динамічними жорсткостями.

Questions of influence of radial backlashes in cogged gearing on a clutch at which specific loading increases by each, on a resource coupler are considered. The estimation method of a residual resource on pressure of a bend of cogs and a calculation example is shown.

Анализ публикаций. В работе [1] проведен анализ конструкций и функциональных возможностей упругих опор подшипников высокоскоростных роторных систем. Установлено, что существующие упругие опоры не решают задачу одновременного обеспечения статической и динамической жесткости роторных систем. Поэтому предложен новый принцип работы упругих опор, позволяющий управлять характеристиками жесткости [2, 3]. Опоры с новым принципом работы упругих элементов требуют соответствующей математической модели.

Цель исследования. Целью исследования является обоснование математической модели упругой опоры с управляемой квазиулево́й жесткостью для подшипников высокоскоростных роторных систем.

Основная часть. Рассматриваемая опора подшипников ротора [2] состоит из трех основных частей (рис. 1), которые механически связаны между собою: несущей системы, корректора жесткости и системы регулирования [3].

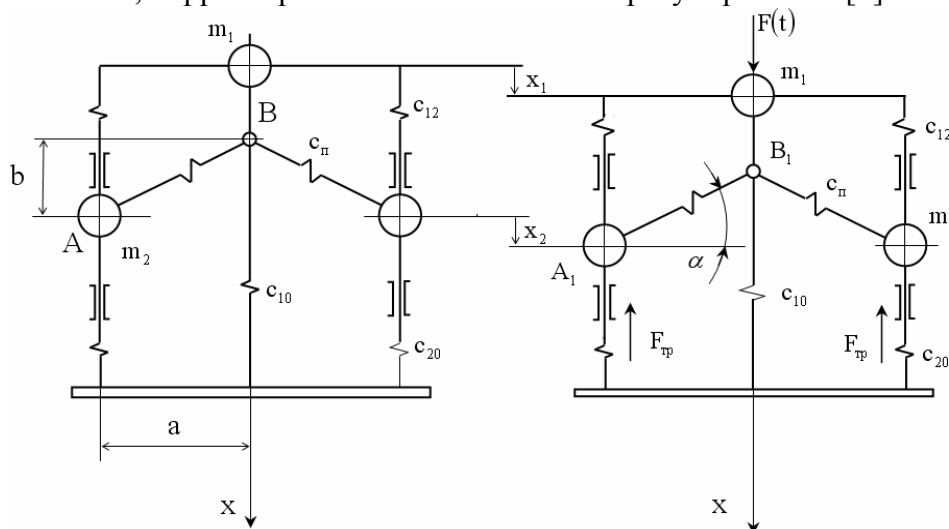


Рис. 1. Схема упругой опоры

Несущая система обеспечивает необходимую несущую способность ротора. Корректор жесткости AB за счет параллельного подключения к несущей системе упругих элементов, имеющих отрицательную жесткость, обеспечивает реализацию упругой характеристики с участком квазинулевой жесткости на рабочем режиме работы системы. Автоматическая поддержка участка квазинулевой жесткости упругой характеристики в положении, которое отвечает рабочему режиму, осуществляется пассивным регулятором.

Геометрические параметры опоры подшипников

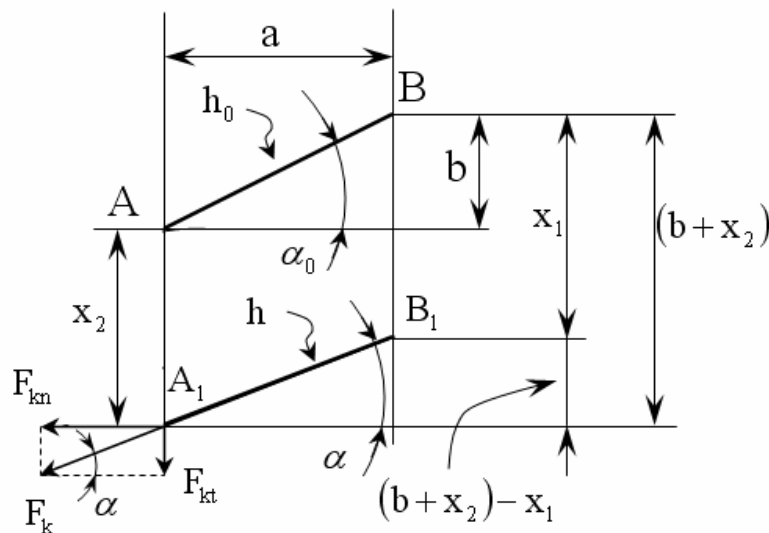


Рис. 2. Зависимость между безразмерными координатами

$$h_0 = \sqrt{a^2 + b^2}; \quad h = \sqrt{h_0^2 + 2b(x_2 - x_1) + (x_2 - x_1)^2}.$$

Сила в корректоре $F_k = C_n(h_0 - h)$, где C_n – жесткость пружины корректора.

Сила трения в направляющих управляющей подсистемы

$$F_{TP} = F_{kn} \cdot f; \quad F_{kn} = F_k \cdot \cos \alpha = C_n(h_0 - h) \cdot \frac{a}{h};$$

$$f = \begin{cases} f \leftarrow \dot{x}_2 < 0 \\ 0 \leftarrow \dot{x}_2 = 0 \\ -f \leftarrow \dot{x}_2 > 0 \end{cases}; \quad F_{TP} = C_n(h_0 - h) \cdot \frac{a}{h} \cdot f.$$

Условие самоторможения

$$f \geq \frac{(b + x_2) - x_1}{a}.$$

Уравнения движения системы

Кинетическая энергия системы

$$T = \frac{m_1 \dot{x}_1^2}{2} + m_2 \dot{x}_2^2. \tag{1}$$

Потенциальная энергия системы

$$\Pi = \frac{C_{10} x_1^2}{2} + C_{20} x_2^2 + C_{12} (x_2 - x_1)^2 + C_n (h_0 - h)^2. \tag{2}$$

Уравнения Лагранжа 2-го рода

$$\left. \begin{aligned} \frac{d}{dt} \left(\frac{\partial T}{\partial \dot{x}_i} \right) - \frac{\partial T}{\partial x_i} &= -\frac{\partial \Pi}{\partial x_i} + F_i(t); \\ m_1 \ddot{x}_1 + C_{10} x_1 - 2C_{12} (x_2 - x_1) + 2C_n \left(\frac{h_0}{h} - 1 \right) (b + x_2 - x_1) &= F(t); \\ m_2 \ddot{x}_2 + C_{20} x_2 + C_{12} (x_2 - x_1) - C_n \left(\frac{h_0}{h} - 1 \right) (b + x_2 - x_1 - af) &= 0. \end{aligned} \right\} \quad (3)$$

Статика системи

Из ($F(t) = F$; $\ddot{x}_1 = \ddot{x}_2 = 0$) подстановкой в (3) следует

$$\left. \begin{aligned} C_{10} x_1 - 2C_{12} (x_2 - x_1) + 2C_n \left(\frac{h_0}{h} - 1 \right) (b + x_2 - x_1) &= F; \\ C_{20} x_2 + C_{12} (x_2 - x_1) - C_n \left(\frac{h_0}{h} - 1 \right) (b + x_2 - x_1 - af) &= 0 \end{aligned} \right\}$$

или, обозначив $x_1 - x_2 \stackrel{def}{=} Z$, имеем условие самоторможения $f \geq \frac{b-Z}{a}$ и уравнение статики системы

$$\left. \begin{aligned} \frac{F}{C_{10}} &= \left(1 + C_{12} \frac{C_{10} + 2C_{20}}{C_{10} C_{20}} \right) Z + C_n \left(\frac{h_0}{h} - 1 \right) \left[\frac{C_{10} + 2C_{20}}{C_{10} C_{20}} (b - Z) - \frac{a}{C_{20}} f \right]; \\ h &= \sqrt{a^2 + (b - Z)^2}. \end{aligned} \right\}$$

В безразмерном виде геометрические параметры:

$$\bar{x}_1 = \frac{x_1}{b}; \quad \bar{x}_2 = \frac{x_2}{b}; \quad \bar{Z} = \frac{Z}{b}; \quad \bar{h} = \sqrt{\bar{h}_0^2 - 2\bar{Z} + \bar{Z}^2};$$

$$\frac{F}{b \cdot C_{10}} = (1 + C_{12} \pi_c) \bar{Z} + C_n \left(\frac{\bar{h}_0}{\bar{h}} - 1 \right) (\pi_c (1 - \bar{Z}) - \pi_f),$$

где

$$\pi_c = \frac{C_{10} + 2C_{20}}{C_{10} C_{20}}; \quad \pi_f = \frac{f}{C_{10} \operatorname{tg} \alpha_0}.$$

Жесткость системы

$$(b \cdot C_{10})^{-1} \frac{dF}{dZ} = 1 + C_{12} \cdot \pi_c + C_n \left[\frac{\bar{h}_0 (1 - \bar{Z})}{\bar{h}^3} \left(\pi_c - (1 - \bar{Z}) - \pi_f \frac{2}{C_{10}} \right) - \left(\frac{\bar{h}_0}{\bar{h}} - 1 \right) \pi_c \right].$$

Рассмотрим нули функции жесткости системы, соответствующие участку квазиулевой жесткости опоры подшипников

$$(b \cdot C_{10})^{-1} \frac{dF}{dZ} = 0.$$

Введем функцию

$$y = 1 + C_{12} \cdot \pi_c + C_n \left[\frac{\bar{h}_0 (1 - \bar{Z})}{\bar{h}^3} \left(\pi_c - (1 - \bar{Z}) - \pi_f \frac{2}{C_{10}} \right) - \left(\frac{\bar{h}_0}{\bar{h}} - 1 \right) \pi_c \right] = 0;$$

$$\bar{x}_1 = \left(1 + C_{12} \left(\pi_c - \frac{2}{C_{10}} \right) \bar{Z} \right) + C_n \left(\frac{\bar{h}_0}{\bar{h}} - 1 \right) (1 - \bar{Z}) \left(\pi_c - \frac{2}{C_{10}} \right) - \pi_f;$$

$$\bar{x}_2 = \bar{x}_1 - \bar{Z};$$

$$\lim_{C_{20} \rightarrow \infty} \pi_c = \lim_{C_{20} \rightarrow \infty} \left(\frac{1}{C_{20}} + \frac{2}{C_{10}} \right) = \frac{2}{C_{10}}; \quad C_{12} = 0; \quad \lim_{C_{20} \rightarrow \infty} \pi_f = 0,$$

слідовательно,

$$\begin{aligned} \frac{F}{b \cdot C_{10}} &= \bar{Z} + C_n \left(\frac{\bar{h}_0}{\bar{h}} - 1 \right) \cdot \frac{2}{C_{10}} (1 - \bar{Z}); \\ \bar{x}_1 &= \bar{Z} + C_n \left(\frac{\bar{h}_0}{\bar{h}} - 1 \right) \left((1 - \bar{Z}) \left(\frac{2}{C_{10}} - \frac{2}{C_{10}} \right) \right) = \bar{Z}; \quad \bar{x}_1 = \bar{Z}; \\ y &= 1 + 2 \frac{C_n}{C_{10}} \left[\frac{\bar{h}_0}{\bar{h}} \left(\frac{(1 - \bar{Z})^2}{\bar{h}^2} - 1 \right) + 1 \right] = 0; \\ \frac{F}{b \cdot C_{10}} &= \bar{x}_1 + 1 \frac{C_n}{C_{10}} \left(\frac{\bar{h}_0}{\bar{h}} - 1 \right) \cdot (1 - \bar{x}_1); \\ y &= 1 + 2 \frac{C_n}{C_{10}} \left[\frac{\bar{h}_0}{\bar{h}} \left(\frac{(1 - \bar{x}_1)^2}{\bar{h}^2} - 1 \right) + 1 \right] = 0; \\ \bar{h} &= \sqrt{\bar{h}_0^2 - 2\bar{x}_1 + \bar{x}_1^2}. \end{aligned} \tag{4}$$

Проведем анализ уравнения (4).

Параллельный перенос осей декартовых координат $\bar{x}_1 = \bar{x}'_1 + 1$ дает

$$\bar{h} = \sqrt{\bar{h}_0^2 + \bar{x}'_1{}^2 - 1}; \quad y = 1 + 2 \frac{C_n}{C_{10}} \left[\frac{\bar{h}_0}{\bar{h}} \left(\frac{\bar{x}'_1{}^2}{\bar{h}^2} - 1 \right) + 1 \right].$$

Тогда $y(\bar{x}'_1) = y(-\bar{x}'_1)$ функция четная, следовательно, $y(\bar{x}_1)$ симметрична относительно $\bar{x}_1 = 1$ (рис. 3).

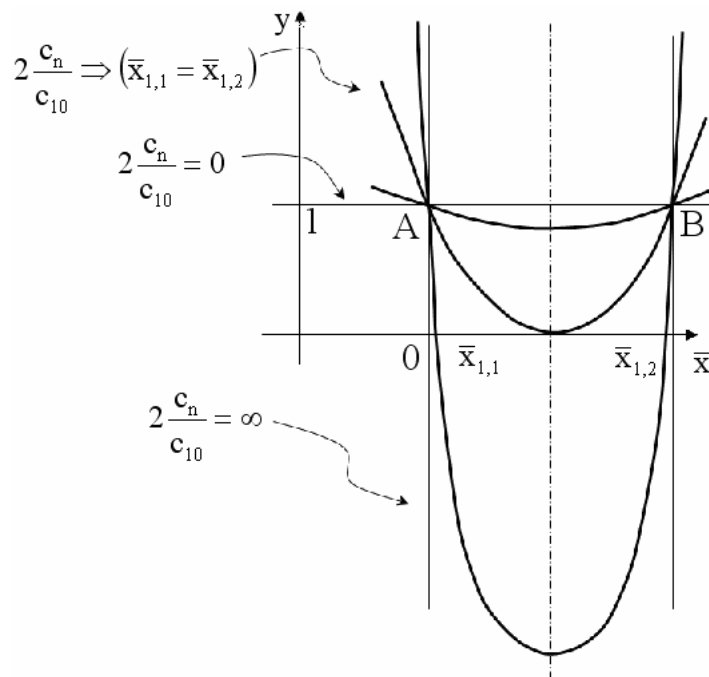


Рис. 3. График изменения функции $y(\bar{x}_1)$

$$\lim_{\bar{x}_1 \rightarrow \infty} y(\bar{x}_1) = \infty; \quad 2 \frac{C_n}{C_{10}} \Rightarrow (\bar{x}_{1,1} = \bar{x}_{1,2}); \quad 2 \frac{C_n}{C_{10}} = 0;$$

$$\lim_{\bar{x}_1 \rightarrow \infty} y(\bar{x}_1) = 1; \quad \frac{C_n}{C_{10}} \rightarrow 0; \quad \frac{C_n}{C_{10}} \rightarrow \infty.$$

Из совместного решения $y = 1$ и $y(\bar{x}_1')$ следует, что точки A и B пересечения $y(\bar{x}_1)$ и $y = 1$ не зависят от $C_n \cdot C_{10}^{-1}$ и, следовательно, существуют для всех $C_n \cdot C_{10}^{-1}$. Координаты A и B (рис. 2)

$$\bar{x}'_{A,B} = \pm \sqrt{[\bar{h}_0(\bar{h}_0^2 - 1)]^{\frac{2}{3}} - (\bar{h}_0^2 - 1)}.$$

Кратному нулю $\bar{x}_{1,1} = \bar{x}_{1,2} = 1$ соответствует область существования нулей

$$2 \frac{C_n}{C_{10}} \geq \left(\frac{\bar{h}_0}{\sqrt{\bar{h}_0^2 - 1}} - 1 \right)^{-1} \stackrel{def}{=} K_H$$

и квазиуловому участку упругой характеристике опоры (рис. 4) соответствует

$$2 \frac{C_n}{C_{10}} \geq K_{II}.$$

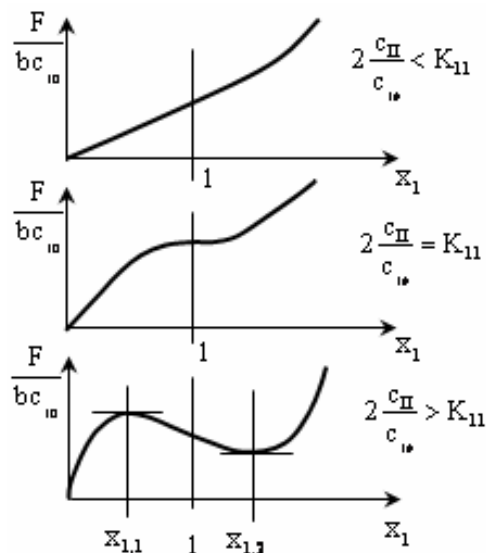


Рис. 4. Качественная зависимость упругой характеристики опоры от безразмерных координат

Из симметрии $y(\bar{x}_1)$ относительно $\bar{x}_1 = 1$ следует симметрия $\bar{x}_{1,1}$ и $\bar{x}_{1,2}$ относительно $\bar{x}_1 = 1$.

Линии равного уровня $\bar{x}_1 = \text{const}$ на плоскости $(\alpha_0, 2C_n \cdot C_{10}^{-1})$ показаны на рис. 5.

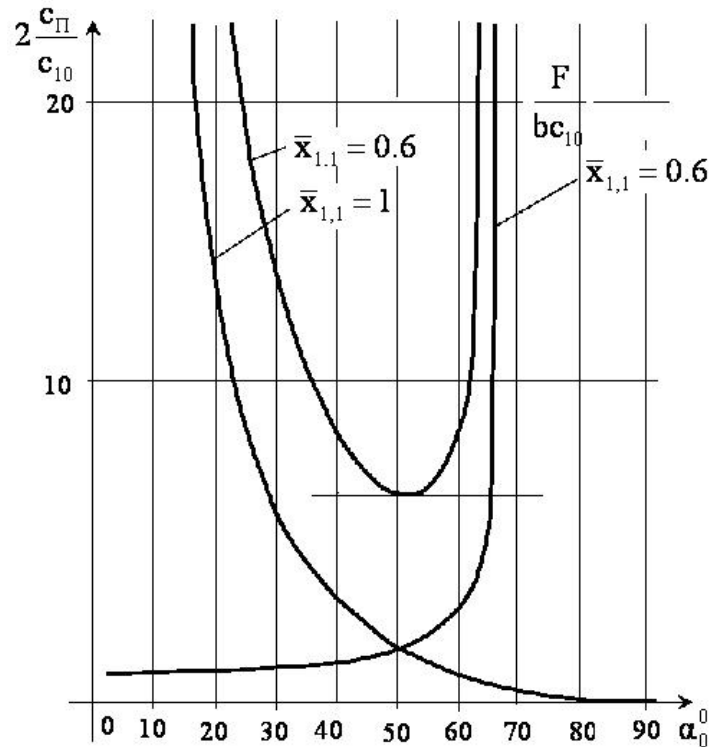


Рис. 5. Линии равного уровня на плоскости параметров упругой опоры

Полученные зависимости позволят разрабатывать опоры с управляемой квазиулевою жесткостью для подшипников высокоскоростных роторных систем, которые имеют максимально возможную статическую жесткость на нерабочих режимах и минимально возможную жесткость опоры на рабочих, что обеспечит максимально возможную динамическую жесткость и, следовательно, точность работы высокоскоростных роторных систем с сохранением требуемого ресурса.

Список литературы: 1. Гапонов, В.С. Аналитический обзор литературы по вопросам конструктивного обеспечения динамической устойчивости высокоскоростных роторных систем [Текст] / В.С. Гапонов, А.В. Гайдамака, Е.Ю. Гладышева // *Машиноведение и САПР. Вестник НТУ «ХПИ»: Сб. науч. трудов.* – Харьков: НТУ «ХПИ». – 2010. – № 19. – С. 39-44. 2. Патент на винахід 62934 Україна. Пасивна віброзахисна система з керованою квазінульовою жорсткістю / В.С. Гапонов, П.М. Калінін. – 2004. – Бюл. № 1. 3. Гапонов, В.С. Упругая опора подшипников ротора с управляемым изменением квазиулевого жесткости [Текст] / В.С. Гапонов, А.И. Наумов // *Вісник НТУ «ХПИ».* – 2010. – № 33. – С. 68-73.

© Гапонов В.С., Наумов А.И., Остапчук Ю.А., 2012
Поступила в редколлегию 15.02.12